

НАБЛЮДЕНИЕ ГОРЯЧИХ ЭЛЕКТРОНОВ В МОЛИБДЕНЕ

B.A.Гаспаров, С.А.Козлов

По амплитудам квантовых осцилляций поверхностного импедан-са молибдена, измерены зависимости температур электронов линз T_e и дырок эллипсоидов T_h от мощности вводимой в образец при пропус-кании тока через микроконтакты. Обнаружено, что $T_h \approx T_e$ под кон-тактом, а вдали от него $\Delta T_h \approx 2\Delta T_e$ и превышает прирост темпе-ратуры фононов $\Delta T \lesssim \Delta T_e$.

Крыловым и Шарвиным [1] было показано, что при пропускании тока через микроконтакты в висмуте в квантующем магнитном поле возни-кает канал горячих электронов. По-видимому, обнаруженный эффект обусловлен малыми размерами поверхности Ферми (ПФ) висмута и со-ответственно большим временем энергетической релаксации [2]. С дру-гой стороны, есть основания полагать [3, 4], что в молибдене при низ-ких температурах частота электрон-электронных столкновений ν_{ee} ве-лика по сравнению с электрон-фононной частотой ν_{ep} и таким образом выполнено условие термализации электронного газа ($\nu_{ee} > \nu_{ep}$), что позволяет создавать горячие электроны в этом металле [5].

Схема эксперимента аналогична [1], но отличается применением не-зависимого термометра (см. вставку на рис.2). Образец молибдена в виде монокристаллического параллелепипеда $1 \times 2 \times 20 \text{ мм}^3$ и с отноше-нием электросопротивлений $R_{300\text{K}} / R_{4,2\text{K}} \approx 5 \cdot 10^4$ помещался в криос-тат со сверхтекучим гелием. К боковым сторонам образца приклады-вались прижимные молибденовые микроконтакты. Один из микроконтак-тов (ближний) помещался внутри плоской катушки диаметром 1 мм, при-клееной к образцу. Второй микроконтакт (дальний) находился на проти-воположной грани образца так, что линия контактов была параллельна оси $<100>$ и направлению магнитного поля \mathbf{H} .

Сpirальная катушка служила индуктивностью к радиочастотному кон-туру автодинного генератора, что позволяло с помощью модуляционной методики [6] измерять квантовые осцилляции производной активной части поверхности импеданса образца $\partial R / \partial H$. Согласно формуле Лифшица - Косевича, амплитуда осцилляций A определяется темпе-турой электронного газа T :

$$A \sim T \exp \left[- \frac{2\pi^2 k_B}{\pi\Omega} (T + T_D) \right]. \quad (1)$$

Здесь k_B — постоянная Больцмана, T_D — температура Дингля, $\Omega = eH/mc$ — циклотронная частота электронов с массой m . Это обстоятельство позволяло по амплитудам соответствующих периодов осцилляций измерять зависи-мость температур различных групп электронов от тока через микрокон-такт. Эксперименты проводились на частоте 8 МГц, когда глубина скин-слоя $\delta \approx 0,05 \text{ мм}$ [7]. В результате измерялась температура раз-личных групп электронов центральных сечений ПФ, в приповерхностной части образца глубиной δ и диаметром 1 мм.

Как видно из рис.1, наблюдаются два периода осцилляций, высокочастотные, с частотой $F = 24\text{МГц}$, соответствующие центральным сечениям дырочных эллипсоидов и низкочастотные ($F = 5,4\text{ МГц}$), обусловленные электронными линзами. Циклотронные массы на этих сечениях довольно близки ($0,38 m_0$ и $0,34 m_0$ для дырок и электронов, соответственно [8]), поэтому зависимости $A(T)$ для этих периодов, прокалибранные по изменению температуры образца, практически совпадали в интервале $1,3 - 2,5\text{ К}$ (см. рис.1).

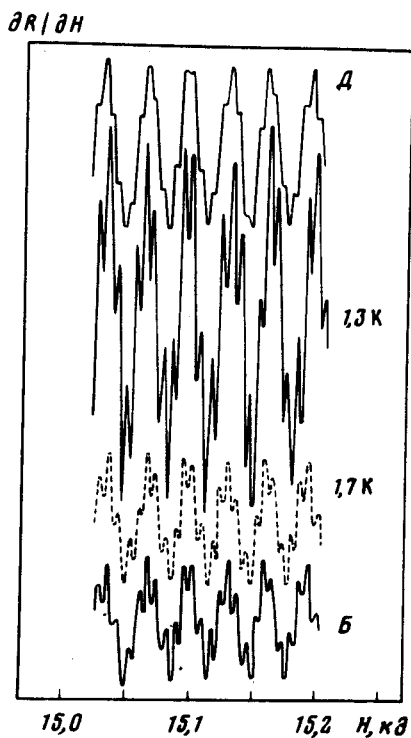


Рис.1. Пример записи квантовых осцилляций поверхного импеданса молибдена при различных температурах образца и при пропускании тока через ближний ($I = 50\text{ mA}$, $R = 6,3\text{ Ом}$) и дальний ($I = 13\text{ mA}$, $R = 24,5\text{ Ом}$) контакты

Пропускание слабого тока I через один из контактов и любой из торцов образца при $1,3\text{ К}$, приводило к резкому падению амплитуды осцилляций (рис.1). Отметим следующие экспериментальные особенности.

- 1) Эффект уменьшения амплитуды максимальен при пропускании тока через дальний контакт и резко пропадает при смещении линии контактов на угол $\phi \geq 10^\circ$ от оси \mathbf{H} .
- 2) При замене спиральной катушки на прямоугольную, внутри которой помещался образец, эффект падал на порядок.
- 3) Изменение сопротивления контактов R от опыта к опыту от 1 до 30 Ом ; что соответствует вариации диаметра контакта от 250 до 50 \AA [9], не влияло на зависимость A от мощности P .
- 4) Эффект квадратичен по току: при пропускании через микроконтакт переменного тока частотой $f_m = 10\text{ Гц} \div 1\text{ кГц}$ (при нулевом поле модуляции) наблюдалась квантовые осцилляции при настройке синхронного усилителя на удвоенную частоту $2f_m$, с амплитудой на два порядка большей, чем на частоте

те f_m . Осцилляции при $2f_m$ наблюдались с 2,5 К, резко возрастали по амплитуде при понижении температуры, но при прохождении через λ -точку гелия скачком уменьшались в несколько раз.

Таким образом, по-видимому, эффект падения амплитуды осцилляций обусловлен локальным нагревом электронного газа. Как видно из рис.2: 1) прирост температуры дырок в два раза больше, чем электронов, а следовательно и фононов, при нагреве через "дальний" контакт; 2) температуры электронов и дырок одинаковы при нагреве через "ближний" контакт, т.е. под контактом.

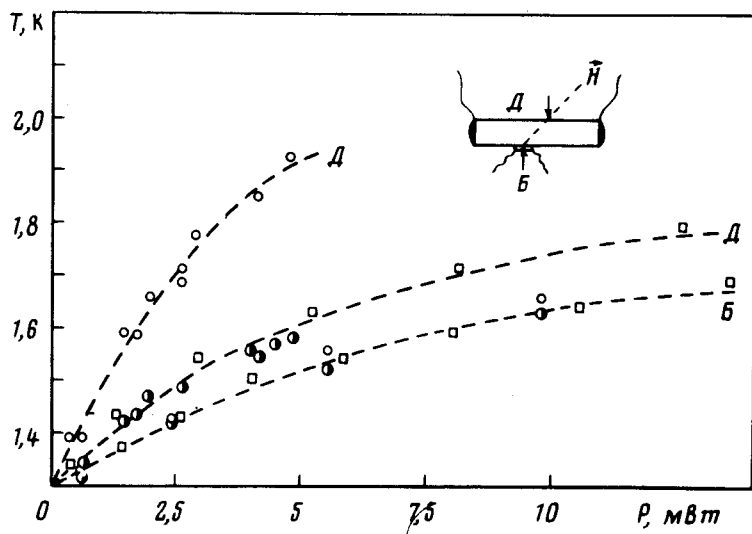


Рис.2. Зависимость температуры электронов линз (●) и дырок эллипсоидов (○) от мощности вводимой через дальний и близкий микроконтакты. Значками (□) отмечены данные полученные для электронов линз при подавлении дырочных осцилляций модулирующим полем ($R_B = 1,6 \text{ Ом}$, $R_D = 4,5 \text{ Ом}$). Точки соответствуют данным полученным в различных опытах и при различных R

По-видимому, микроконтакт служит точечным нагревателем образца из-за генерации неравновесных фононов под контактом [9]. В результате возникает канал горячих электронов, расходимость которого по отношению к размеру термометра приводит к различию в T при нагреве через дальний и близкий контакты. Изотропизация функции распределения электронов, нагретых под контактом, по ПФ при движении вдоль магнитного поля, происходит как за счет электрон-электронного, так и электрон-примесного рассеяния. Обнаруженное различие T_e и T_h вдали от контакта обусловлено различной скоростью этой изотропизации, однако конкретная причина этого различия, равно как и роль этих механизмов рассеяния остается неясной. Вероятно дальнейшие исследования зависимости $T(P)$ для "валета" и октаэдра, а также для других металлов, со слабым электрон-электронным рассеянием, помогут ответить на эти вопросы.

Авторы благодарны М.И.Каганову, В.Ф.Гантмахеру, Л.М.Фишеру, В.Т.Долгополову, И.П.Крылову за обсуждение и критические замечания, Е.Б.Лейко за предоставление образца и М.А.Горелову за техническую помощь.

Институт физики твердого тела
Академии наук СССР

Поступила в редакцию
24 июня 1981 г.

Литература

- [1] И.П.Крылов, Ю.В.Шарвин. Письма в ЖЭТФ, 23, 166, 1976.
 - [2] В.Т.Долгополов. УФН, 130, 241, 1980.
 - [3] М.А.Арутюнян, В.А.Гаспаров. ЖЭТФ, 76, 369, 1979.
 - [4] V.A.Gasparov, I.F.Voloshin, L.M.Fisher. Sol. St. Comm., 29, 43, 1979.
 - [5] М.И.Каганов, И.М.Лифшиц, Л.В.Танатаров. ЖЭТФ, 33, 1261, 1957.
 - [6] Е.П.Вольский. ЖЭТФ, 43, 1120, 1962; 46, 123, 1964.
 - [7] И.Ф.Волошин, В.Г.Скобов, Л.М.Фишер, А.С.Чернов. ЖЭТФ, 78, 339, 1980.
 - [8] K.Dobson, A.Myers. Sol. St. Comm., 35, 27, 1980.
 - [9] Ю.В.Шарвин, Н.И.Богатина. ЖЭТФ, 56, 772, 1969.
-